

Излучение шарового самопоглощающего источника

КОРЖОВ Л. Н.

В настоящей работе приводятся аналитические выражения для расчета поля излучения, создаваемого шаровым источником с учетом самопоглощения. Плотность потока излучения шарового самопоглощающего источника без защиты в точке P (рис. 1) на расстоянии b от центра определяется выражением

$$\Phi_0 = \frac{S_v}{4\pi} \int_0^{2\pi} d\varphi \int_0^{\arcsin R/b} \sin \theta d\theta \int_{r_1}^R e^{-\mu_s(r-r_1)} dr, \quad (1)$$

где $r_2 - r_1 = 2 \sqrt{R^2 - b^2 \sin^2 \theta}$. Данный интеграл не имеет аналитического решения. Ранее он был вычислен с помощью ЭВМ [1, 2].

При решении поставленной задачи аналитическим путем используем следующий прием. Окружим шаровой источник сферической защитой, толщина которой $d = b - R$. Коэффициент ослабления в защите принимается равным коэффициенту самопоглощения в источнике $\mu = \mu_s$ (рис. 2). В данном случае плотность потока в точке P на расстоянии b будет равна

$$\Phi_1 = \frac{S_v}{4\pi} \int_0^{2\pi} d\varphi \int_0^R r^2 dr \int_0^\pi \frac{e^{-\mu_s l} \sin \theta d\theta}{l^2}, \quad (2)$$

где $l^2 = r^2 + b^2 - 2rb \cos \theta$.

Используя подстановку $r^2 + b^2 - 2rb \cos \theta = t^2$, получим аналитический вид для плотности потока излучения в точке P :

$$\Phi_1 = \frac{S_v R}{2\mu_s b} \left\{ E_2(\mu_s b - \mu_s R) + E_2(\mu_s b + \mu_s R) - \frac{1}{\mu_s R} [E_3(\mu_s b - \mu_s R) - E_3(\mu_s b + \mu_s R)] \right\}, \quad (3)$$

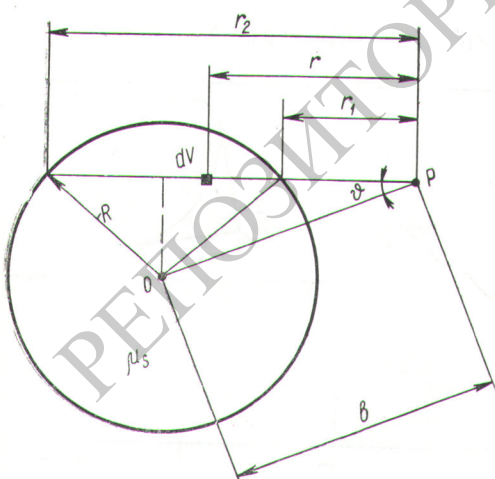


Рис. 1. Излучение шарового источника без защиты.

Здесь S_v — удельная мощность источника (частец/ $\text{см}^3 \cdot \text{сек}$); R — радиус источника; b — расстояние от центра источника до точки детектирования; μ_s — коэффициент ослабления; $E_n(x)$ — табулированная интегральная функция. В случае $b=R$ формула (3) переходит в известное выражение для плотности потока на поверхности шарового источника с самопоглощением [1, 3].

В работе [4] приводится аналитическое решение для непоглощающего шарового источника со сферической защитой в точке P (см. рис. 2):

$$\begin{aligned} \Phi_2 = & \frac{S_v}{4b} \left\{ (b+R)^2 \left[E_3(\mu b - \mu R) - \frac{b-R}{b+R} \right. \right. \\ & \times E_3(\mu \sqrt{b^2 - R^2}) \left. \right] - 2(b^2 - R^2) [E_1(\mu b - \mu R) - \\ & - E_1(\mu \sqrt{b^2 - R^2})] + \frac{1}{\mu} [(b-R) e^{-\mu(b-R)} - \\ & - \left. \sqrt{b^2 - R^2} e^{-\mu \sqrt{b^2 - R^2}} \right] + \\ & \left. + \frac{4}{\mu^2} [e^{-\mu(b-R)} - e^{-\mu \sqrt{b^2 - R^2}}] \right\}. \end{aligned} \quad (4)$$

Выражение (4) при $b = R$ переходит в известное выражение для плотности потока на поверхности шарового источника без самопоглощения, а при $\mu = 0$ — в выражение для плотности потока шарового непоглощающего источника [3].

Известно, что отношение плотностей потока нерассеянного излучения в точке P двух источников с идентичными геометрическими параметрами не зависит от того, имеется или отсутствует защитный экран между источником и точкой детектирования.

Поэтому для определения эффекта самопоглощения в шаровом источнике необходимо взять отношение

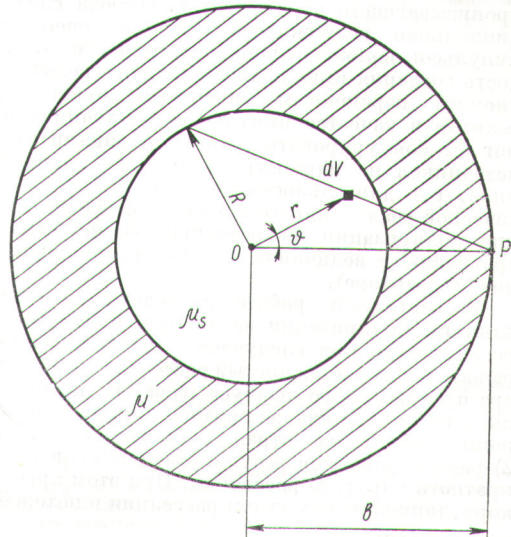


Рис. 2. Излучение шарового источника со сферической защитой.

формулы (3) к выражению (4). В этом случае коэффициент самопоглощения шарового источника имеет вид

$$f \left(\mu_s R, \frac{b}{R} \right) = \frac{\Phi_1}{\Phi_2}, \quad (5)$$

где Φ_1 — формула (3), а Φ_2 — формула (4) при $\mu = \mu_s$.

Плотность потока от шарового самопоглощающего источника без защиты в точке P (см. рис. 1) определяется выражением

$$\Phi_0 = f \left(\mu_s R, \frac{b}{R} \right) \Phi_3, \quad (6)$$

где $\Phi_3 = \frac{S_v}{2b} \left[2bR + (b^2 - R^2) \ln \frac{b-R}{b+R} \right]$ — общезвестное выражение [3]. Плотность потока от шарового источника с учетом самопоглощения за сферической защитой в точке P (см. рис. 2) определяется как

$$\Phi_4 = f \left(\mu_s R, \frac{b}{R} \right) \Phi_2. \quad (7)$$

Зависимость альбедо от поляризации быстрых нейтронов, возникающей при рассеянии на ядрах отражателя

ВАНЬКОВ А. А., ВОРОПАЕВ А. И., ЦИБУЛЯ А. М.

Влияние поляризации нейтронов, возникающей за счет спин-орбитального взаимодействия в процессе упругого рассеяния, на диффузионные характеристики сред рассматривалось в работах [1—4]. В настоящей работе исследуется зависимость альбедо для тонкого отражателя от поляризации. Этот эффект представляет интерес с точки зрения его использования в быстром реакторе, поскольку реактивность реактора зависит от величины альбедо. Влияние поляризации может быть «разрешено» включением сильного магнитного поля, пронизывающего отражатель*. Отсюда следует принципиальная возможность создания очень коротких импульсов положительной реактивности, т. е. возможность создания импульсного быстрого реактора, управляемого переменным магнитным полем [5]. Такой реактор в качестве импульсного источника нейтронов мог бы конкурировать с другими типами импульсных источников по параметру Q/τ^2 (Q — мощность источника, τ — длительность импульса). Однако для практической реализации этой идеи желательно, чтобы влияние поляризации на реактивность не было мало по сравнению с величиной l/τ (l — время жизни нейтронов в реакторе).

В настоящей работе проведены простые оценки влияния поляризации на альбедо и соответственно на реактивность при следующих предположениях: 1) отражателем является чистый рассеиватель в форме цилиндра произвольного радиуса (рис. 1), но малой толщины a по сравнению со средней длиной пробега; нейтроны падают на отражатель вдоль оси цилиндра; 2) рассматриваются результаты процессов одно- и двухкратного упругого рассеяния. При этом пренебрегается корреляцией между углом рассеяния и потерей энергии.

* Имеется в виду возникновение прецессии вектора магнитного момента и связанного с ним спина нейтрона.

Полученные выражения являются строгим аналитическим выражением задачи об излучении самопоглощающего шарового источника для случая $\frac{b}{R} \geq 1$.

Поступило в Редакцию 22/XI 1973 г.

СПИСОК ЛИТЕРАТУРЫ

1. Бергельсон Б. Р., Зориков Г. А. Справочник по защите от излучения протяженных источников. М., Атомиздат, 1965.
2. Попов В. И. В сб.: Приборы и методы анализа излучений. М., Атомиздат, 1960, с. 7.
3. Кимель Л. Р., Машкович В. П. Защита от ионизирующих излучений. М., Атомиздат, 1972.
4. Коржев Л. Н. В сб.: Вопросы дозиметрии и защиты от излучений. Вып. 13. М., Атомиздат, 1973, с. 127.

УДК 539.171.4

Упругий сброс характеризуется средней потерей летаргии.

Поскольку вероятность отражения после первого рассеяния не зависит от рассматриваемой поляризации, а члены, соответствующие кратности рассеяния больше двух, дают малый вклад в эффект вследствие малой толщины отражателя, влияние поляризации в основном заключено в компоненте альбедо, связанного с вероятностью для нейтрона испытать двойное рассеяние и вылететь наружу через заданную поверхность отражателя. Дифференциал dP этой вероятности записывается в виде

$$dP(x_1, x_2, \Omega_1, \Omega_2) = \exp(-\Sigma_1 x_1) \Sigma_1 dx_1 \times$$

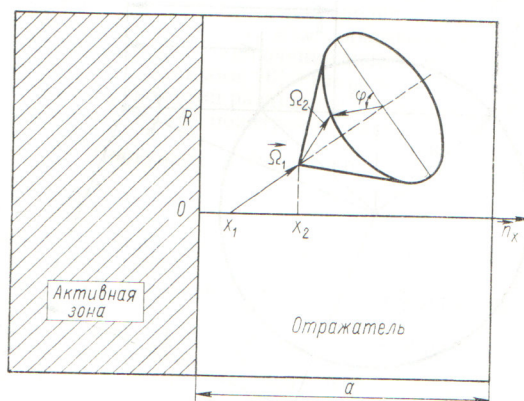


Рис. 1. Схема двухкратного рассеяния нейтронов в отражателе.